

三戸産シラスのせん断特性

東北大学工学部 正員 柳沢栄司

八戸高専 正員 ○鈴木富士弥

1. はしがき。乱したシラス(三戸産)の間げき水圧挙動および応力経路を調べることを目的として圧密排水(一部排水)せん断試験を実施し、そのせん断特性について考察する。

2. 試料、供試体および実験方法。実験に用いたシラスは青森県三戸地内において採取したもので、その 4.76 mm フリイ通過部分である。その指歎的性質を表-1に示す。供試体は直径 5 cm 、高さ 12.5 cm のモール(二層)の所定の初期間げき比が得られるように詰めて成形した。実験方法は圧密排水三軸圧縮(ヒズミ制御)で間げき水圧を測定する。5種類の初期間げき比 C_0 になるように成形した供試体を三軸室にセットして約 0.2 kg/cm^2 の真空吸引をかけながら吸水飽和させる。拘束圧 σ_3 を $0.5, 1.0, 2.0, 3.0$ および 4.0 kg/cm^2 にとり圧密する。その後、供試体の飽和度を高め間げき水圧測定の精度を高めるために 1.0 kg/cm^2 のバッファレッシャーを加える。これが平衡状態になってから $0.5\text{ %}/\text{min}$ の定ヒズミで非排水状態で軸圧縮すると同時に間げき水圧測定装置を用いて供試体の上、下部から伝達される間げき水圧を測定する。なお、比較のために2種類の C_0 について圧密排水試験も行なった。

3. 実験結果および考察。
3.1 強度定数。モールの破壊応力円と包絡線より圧密排水条件における有効応力表示と全応力表示、および排水条件における破壊包絡線はすべてモールフーロンの規準に適合している。強度定数と C_0 の関係を図-1に示す。強度定数はいずれの場合も相対密度が高くなるに従って大となる。ただし、見かけの粘着力はある間げき比以上にならじ発生しない。破壊時の主応力差は C_0 が小さい程、また σ_3 が大きい程大で他の砂質土と同じ傾向である。

CD 試験ではCU 試験よりも $(\sigma - \sigma_3)$ が大きくなっているが強度定数においては両試験の結果に大差はない。

3.2 間げき水圧と体積変化。破壊時の間げき水圧 u_f は図-2に示すように、 σ_3 が大きい程大きく、 C_0 も大きい程大きくなっている。また破壊時の間げき水圧係数 A_f と C_0 との関係を図-3に示す。 C_0 が大きい程 A_f が大となり、相対密度 $D_r \rightarrow 0$ となれば $A_f \rightarrow 1$ になるものと考えられる。

飽和土のせん断における体積変化は間げき水圧の変化と不可分の関係にあることは広く知られている。図-4より破壊時の間げき水圧変化率 $(du/d\varepsilon)_f$ は C_0 が小であれば(-)の値で、 C_0 が大になれば(+)の値となつていて、この中間に $(du/d\varepsilon)_f = 0$ となる C_0 の値が存在する。破壊時にあいて体積が膨張するのは(-)の場合であり収縮は(+)の場合に起る。 $(du/d\varepsilon)_f = 0$ は体積変化のない限界間げき比 c_{cr} において生ずる筈である。その値は $c_{cr} = 1.4 \sim 1.6$ である。一方 CD 試験における破壊時の体積変化率 $(d(\Delta V/V)/d\varepsilon)_f$

表-1 シラスの指歎的性質

自然含水比	23.5 (%)
比重	2.413
水理係数	52
最大間げき比	1.800
最小間げき比	1.052
コンシステンシー	$N \cdot P$

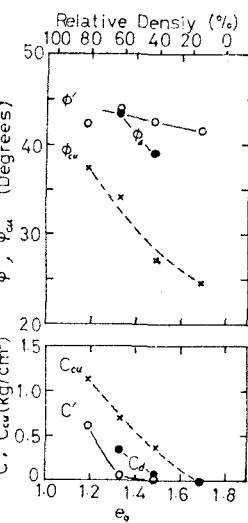


図-1 シラスの強度定数

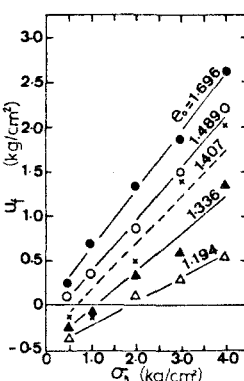


図-2 破壊時の間げき水圧

$e_0 > e_{cr}$ では見かけの粘着力が生じ、 $e_0 < e_{cr}$ ではそれが生じないことは図-1によつても裏付けられる。

3.3 応力経路。CU試験における応力経路の例を図-1に示す。 $\tan^{-1}\frac{3}{2}$ の線が全応力経路を示すがこの線から各応力経路までの横座標間げき水圧比の大きさとなる。ひは除々に増加しゆる詰めシラスでは破壊を過ぎても急増している。密詰めでも同様な傾向にあるが、ひの増加はひが小さい程小さい。この応力経路のパターンはひが変わること大差はないが相似ではない。CD試験における応力経路は各回において $\tan^{-1}\frac{3}{2}$ の全応力経路に平行になつていて間げき水圧の発生はみられない。

3.4 限界状態線。Roscoe らはせん断破壊にあらわれる定常的状態(图-3, c)の軌跡が限界間げき比と応力の関係を示すものと考えた。これによるビザンソンにおける応力経路はせん断前の状態と無関係に(图-3, e)空間内の一組線上の点に達してそこ止まる。このような最終的な点の軌跡が限界状態線と呼ぶ。Weald Clay の例によるし排水、非排水の条件によつて実用上一致し、排水条件で無関係にCVR 線が決められる。シラスの非排水条件から限界状態線を求めてみると e_0 の小さい過圧密状態ではこの線に乗つてこない。シラスでは、ひによる応力経路の終点を結ぶと折れ線のようになるが、その変曲点を各ひ(主密接の間げき比)毎に求め結ぶと曲線になつたがこの曲線はいわばシラスの状態変化線となる。この変化線を $e_0 \sim p$ 面に投影すると图-6のようになる。この曲線の左側では $C' = 0$ で砂の粒相を呈し、右側では $C' > 0$ となりやむやく小さくなつて不飽和上の粒相を呈する。右側では粒子破碎が生ずるものと考えられる。したがつてシラス特有の見かけの粘着力はこの左側の特性によるものであると考えられる。限界状態線を $e_0 \sim p$ 面へ投影すると图-7のようになり、ほほ原点を通る直線となる。

4. おもび。乱した三戸シラスの非排水(一部排水)三軸圧縮試験を実施して次のようないき論を得た。(1) 破壊にはモールフーロンの規準がよく適合する。(2) CD 試験では CU 試験より(ひ-ひ)が大となるが強度定数においては大差ない。(3) h_0 はひおよび e_0 が大なる程大で、 A_0 は C_0 が大なる程大きい。(4) 体積変化率からシラスに限界間げき比 e_{cr} と間げき水圧変化率からシラスに e_{cr} はほぼ等しい。(5) この e_{cr} を境にして $e_0 > e_{cr}$ では $\sigma = \sigma_0 \cdot \tan \phi'$ 、 $e_0 < e_{cr}$ では $\sigma = C_0 + \sigma_0 \tan \phi'$ と表記される。(6) CU 試験による応力経路のパターンはひが変わっても大差ないが相似ではない。(7) ひが大きいシラスでは限界状態線はつらうない。(8) 応力経路りが点を結ぶと折れ線のようになるが、この変曲点の軌跡は出現しなり、これを境にしてひ-ひになら領域と $C' > 0$ になら領域に分れる。前者では砂の粒相を、後者では不飽和の粒相を呈する。それは粒子破碎の影響によるものと考えられる。

图-5 シラスの応力経路 ($\sigma_0 = 3.0 \text{ kg/cm}^2$) (CU)

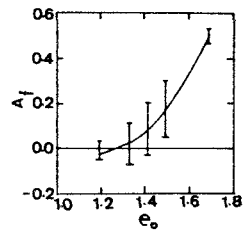


图-3 破壊時の間げき水圧係数

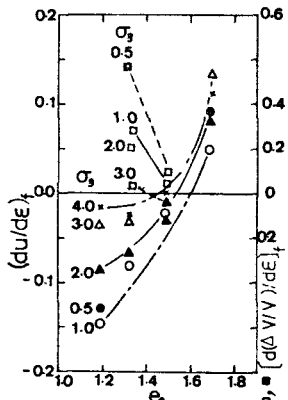


图-4 シラスの間げき水圧変化率・体積変化率

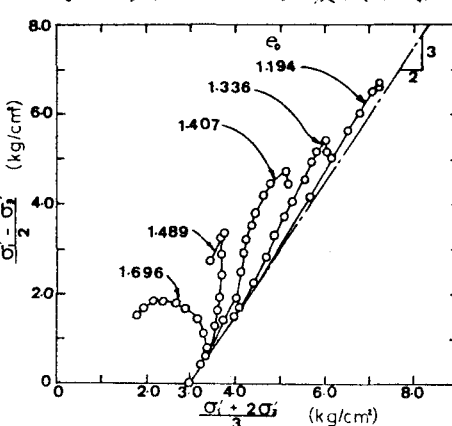


图-6 限界間げき比線 ($e_0 \sim p$ 面)

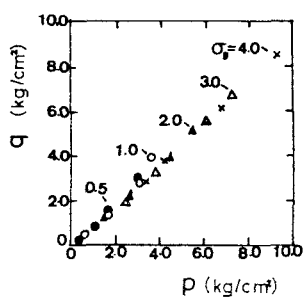


图-7 限界間げき比線 ($p \sim e$ 面)